

Biochemistry Reagent Disc

【Nome do Produto】

Biochemistry Reagent Disc (Disco Reagente de Bioquímica).

【Especificações de Embalagem】

1Teste/Pc, 10 Testes/Caixa.

【Uso Pretendido】

O disco reagente de bioquímica veterinária é usado para detecção quantitativa *in vitro* da concentração de albumina, fosfatase alcalina, alanina aminotransferase, amilase, aspartato aminotransferase, colinesterase, glutamil transferase, bilirrubina total, ácido biliar total, proteína total, creatinina, glicose, ácido úrico, nitrogênio ureico sanguíneo, cálcio, íon cloreto, íon potássio, magnésio, íon sódio, fósforo inorgânico, dióxido de carbono total, pH, creatina quinase, lactato desidrogenase, lipase, colesterol total, triglicérides, frutossamina, ácido láctico, cistatina C canina, proteína C reativa canina, amiloide sérico felino A e amônia sanguínea. Através do cálculo, pode-se também obter globulina, relação albumina/globulina, relação ureia/creatinina.

O disco reagente de coagulação- 4 pode ser usado para detecção de tempo de trombina, tempo de protrombina, tempo de tromboplastina parcial ativada e conteúdo de fibrinogênio *in vitro* no sangue total ou plasma de animais.

A detecção da concentração desses parâmetros no sangue tem o seguinte significado clínico:

1. Detecção de Indicadores de função hepática: albumina (ALB), fosfatase alcalina (FA), alanina aminotransferase (ALT), amilase (AMY), aspartato aminotransferase (AST), colinesterase (CHE), glutamil-transferase (GGT), bilirrubina total (TB), ácido biliar total (TBA), proteína total (TP).
2. Detecção de indicadores de função renal: albumina (ALB), cálcio (Ca), creatinina (Crea), glicose (GLU), fósforo inorgânico (PHOS), dióxido de carbono total (tCO₂), ácido úrico (UA), nitrogênio ureico sanguíneo (BUN).
3. Detecção de indicadores para equilíbrio de gases no sangue (gasometria): cálcio (Ca), íons cloreto (Cl⁻), íons potássio (K⁺), magnésio (Mg), íons sódio (Na⁺), fósforo inorgânico (PHOS), dióxido de carbono total (tCO₂), pH, ácido láctico (LAC).
4. Detecção de indicadores de lesão muscular: aspartato aminotransferase (AST), creatina quinase (CK), lactato desidrogenase (LDH).
5. Detecção de indicadores de função pancreática: amilase (AMY), lipase (LPS).
6. Detecção de indicadores de lipídios

sanguíneos: alanina aminotransferase (ALT), colesterol total (CT), triglicérides (TG).

7. Detecção de indicadores de metabolismo da glicose: glicose (GLU), frutossamina (FRUC).

8. Detecção de indicadores de proteínas especiais: cistatina C canina (c-Cys C), proteína C reativa canina (PCR-c) e soro amiloide A felino (f-SAA).

9. Clinicamente é utilizada principalmente para auxiliar no diagnóstico da função da coagulação: tempo de trombina (TT), tempo de protrombina (TP), tempo de tromboplastina parcial ativada (TTPA), fibrinogênio (Fib).

【Princípio do Teste】

Este produto é baseado no princípio da espectrofotometria e é usado principalmente para detecção point-of-care (POCT). Os princípios de reação de cada parâmetro de detecção são os seguintes:

1. Albumina: Este método usa corante verde bromocresol. Sob a condição de pH 4,0~4,2, a albumina combina com o verde bromocresol para formar um complexo azul-esverdeado, e o complexo azul-esverdeado formado pela reação é proporcional à concentração de albumina na amostra.

2. Fosfatase alcalina: A fosfatase alcalina na amostra catalisa a hidrólise do p-nitrofenol fosfato (pNPP) para gerar p-nitrofenol livre (pNP) e ácido fosfórico, fazendo com que o valor de absorção de luz no comprimento de onda de 405nm aumente. A atividade da fosfatase alcalina pode ser determinada monitorando-se a taxa de aumento do valor de absorção de luz em um comprimento de onda de 405nm.

3. Alanina aminotransferase: Sob a catálise da ALT, o grupo amino da L-alanina é transferido para o sal dissódico α -cetoglutarato e di-hidratado para gerar piruvato e ácido glutâmico. Piruvato e NADH reagem sob a catálise da D-lactato desidrogenase para gerar ácido láctico e NAD⁺, a atividade da alanina aminotransferase pode ser calculada medindo-se a taxa de diminuição da absorbância de NADH em um comprimento de onda de 340nm.

4. Amilase: A amilase na amostra catalisa a hidrólise do substrato etileno-4-NP malteptanosídeo (EPS), e seu produto gera p-nitrofenol livre sob a ação da α -glicosidase acoplada (pNP), a atividade da amilase pode ser determinada monitorando a taxa de aumento da absorbância da luz em um comprimento de onda de 405nm.

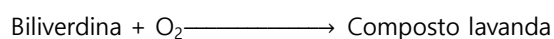
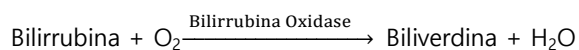
5. Aspartato aminotransferase: Sob a catálise de AST, o grupo amino do ácido L-aspartico é transferido para o sal dissódico de α -cetoglutarato e di-hidratado para gerar oxaloacetato e ácido glutâmico; acetato de oxalila e NADH reagem sob a

catálise da malato desidrogenase para gerar ácido málico e NAD⁺, e a atividade da aspartato aminotransferase pode ser calculada medindo-se a taxa de diminuição da absorbância de NADH em um comprimento de onda de 340nm.

6. Colinesterase: a colinesterase na amostra hidrolisa butirilticolina para gerar tiocolina, e a tiocolina reage com ferricianeto de potássio amarelo para formar um composto incolor. A atividade da colinesterase na amostra pode ser calculada medindo-se a diminuição do valor de absorbância em um comprimento de onda de 405nm.

7. Glutamil-transferase: A L-glutamil-3-carboxil-4-nitroanilina e a glicilglicina no reagente são catalisadas pela glutamiltransferase na amostra para gerar o ácido 5-amino-2-nitrobenzóico. O valor de absorção de luz aumenta no comprimento de onda de 405nm, o qual determina a atividade de glutamil-transferase.

8. Bilirrubina total:



9. Ácido biliar total: 3a-hidroxiesteróide desidrogenase atua especificamente no composto 3a-hidroxiesteróide para convertê-los em esteroides cetonas correspondentes. Durante a reação, o tio-NAD⁺ é reduzido a tio-NADH. O teor de ácido biliar total na amostra pode ser calculado medindo o valor de variação da absorbância no comprimento de onda de 405nm.

10. Proteína total: Em solução alcalina, as ligações peptídicas nas moléculas proteicas reagem com íons de cobre divalentes para formar um complexo azul-púrpura, no qual cada íon de cobre é complexado com cinco a seis ligações peptídicas. O complexo azul-púrpura formado pela reação é diretamente proporcional à concentração de proteína total. Medindo as mudanças nos valores de absorbância em um comprimento de onda de 520-560nm, a concentração de proteína total na amostra pode ser calculada.

11. Creatinina: A creatinina gera peróxido de hidrogênio sob a ação da creatinase, creatinase e sarcosina oxidase, e o peróxido de hidrogênio reage com cromogênios de anilina e 4-aminoantipirético sob a catálise da peroxidase para produzir água e pigmento de imina de quinona, a quantidade de pigmento de imina de quinona produzida é diretamente proporcional ao conteúdo de creatinina na amostra, e a concentração de creatinina na amostra pode ser calculada medindo-se a quantidade de pigmento de imina de quinona produzido.

12. Glicose: A glicose e o trifosfato de adenosina (ATP) sofrem uma reação de fosforilação sob a catálise da hexoquinase (HK)

para gerar glicose-6-fosfato (G-6-P) e adenosina difosfato (ADP). G-6-P é desidrogenado, sob a catálise da glicose-6-fosfato desidrogenase (G6PDH), e oxidado a ácido 6-fosfogluconico (6-PG), enquanto reduz nicotinamida adenina dinucleotídeo (NAD⁺) em nicotinamida adenina dinucleotídeo reduzida (NADH); a concentração reduzida de nicotinamida adenina dinucleotídeo (NADH) é diretamente proporcional à concentração de glicose.

13. Ácido úrico: O ácido úrico é oxidado sob a catálise da uricase (URIC) para gerar alantoína e peróxido de hidrogênio, e sob a catálise da peroxidase (POD), o peróxido de hidrogênio reage com o cromogênio da anilina e 4-amino-antipirina para produzir água e pigmento de imina de quinona, a quantidade de pigmento de imina de quinona produzida é proporcional ao teor de ácido úrico na amostra, e a concentração de ácido úrico na amostra pode ser calculado através da mudança de absorbância.

14. Nitrogênio ureico sanguíneo: O nitrogênio ureico (azoto de ureia) reage com a água sob a catálise da urease para gerar amônia e dióxido de carbono, a amônia gerada e o α-cetoglutarato no reagente geram ácido glutâmico sob a catálise da glutamato desidrogenase (GLDH), e o NADH é oxidado a NAD⁺ ao mesmo tempo. A concentração de nitrogênio ureico pode ser calculada monitorando-se a diminuição da taxa de absorção de luz no comprimento de onda de 340nm.

15. Cálcio: Os íons cálcio reagem com arsenazo III em condições neutras para formar um quelato azul, e a intensidade da cor é proporcional à concentração de íons cálcio, os íons magnésio na amostra são blindados pelo ácido 8-hidroxiquinolina-5-sulfônico.

16. Íon cloreto: 2-cloro-4-nitrobenzeno-α-galactose-maltobiosídeo dissocia-se sob a catálise da α-amilase para gerar 2-cloro-4-nitrofenol (CNP) e maltobiose (G2), o pico máximo de absorção do CNP é no comprimento de onda de 405nm, e a concentração de cloreto no soro pode ser calculada monitorando a taxa de geração do CNP em um comprimento de onda de 405nm.

17. Íon potássio: O sal monociclohexil amônio fosfoenolpiruvato e o difosfato de adenosina são catalisados pela piruvato quinase dependente de potássio para gerar piruvato e adenosina trifosfato, piruvato e sal dissódico de β-nicotinamida adenina dinucleotídeo reduzido em D-lactato desidrogenase catalisa a reação para gerar ácido láctico e dinucleotídeo β-nicotinamida adenina oxidado. O consumo de sal dissódico de β-nicotinamida adenina dinucleotídeo reduzido na reação é diretamente proporcional à concentração de íons potássio na amostra, e a taxa de diminuição da absorbância em um

comprimento de onda de 340nm pode ser monitorado para calcular a concentração de íons potássio.

18. Magnésio: A hexoquinase (HK) catalisa a fosforilação da glicose e adenosina trifosfato (ATP) sob a ação do magnésio para gerar glicose-6-fosfato (G-6-P) e adenosina difosfato (ADP).

G-6-P sofre desidrogenação sob catálise de glicose-6-fosfato desidrogenase (G-6-PD), oxidando para produzir ácido glucônico 6-fosfato (6-PG), enquanto reduz dinucleotídeo adenina amida (NAD⁺) para dinucleotídeo amida adenina reduzido (NADH). A quantidade de magnésio na amostra é diretamente proporcional à concentração de NADH produzida.

19. Íon sódio: O-nitrofenil-β-D-galactosídeo é catalisado pela β-galactosidase dependente de sódio para gerar o-nitrofenol e galactose, e a quantidade de o-nitrofenol produzida é diretamente proporcional à concentração de Na⁺ na amostra, pode monitorar a taxa de aumento da absorvância em um comprimento de onda de 405nm, e calcular a concentração de Na⁺.

20. Fósforo: Os radicais fosfato e o nucleosídeo hipoxantina geram hipoxantina e D-ribose-5-fosfato sob a ação da purina nucleosídeo fosforilase (PNP), hipoxantina e NAD⁺ produzem xantina e NADH sob a ação da xantina desidrogenase. O fósforo inorgânico é diretamente proporcional à concentração de NADH gerado.

21. Dióxido de carbono total: Sob a catálise da fosfoenolpiruvato carboxilase (PEP-C), o bicarbonato reage com o sal monociclohexil amônio fosfoenolpiruvato para gerar oxaloacetato e ácido fosfórico, e o oxaloacetato é catalisado pela malato desidrogenase (MDH) para produzir ácido málico. Depois que a coenzima reduzida é oxidada, a diminuição da absorvância é diretamente proporcional ao conteúdo total de dióxido de carbono na amostra em um comprimento de onda de 405nm.

22. pH: Vermelho de fenol é usado como um indicador ácido-base.

23. Creatina quinase: A CK catalisa a reação da fosfocreatina e adenosina difosfato (ADP) para gerar creatina e adenosina trifosfato (ATP). O ATP gerado reage com a glicose sob a catálise da hexoquinase (HK) para gerar glicose-6-fosfato e ADP, a glicose-6-fosfato é oxidada a ácido 6-fosfoglicônico sob a ação da glicose-6-fosfato desidrogenase (G6PDH), enquanto a nicotinamida adenina dinucleotídeo fosfato (NAD⁺) oxidada é oxidada a nicotinamida adenina dinucleotídeo fosfato reduzido. A atividade da CK pode ser calculada medindo-se a mudança da absorvância do NADH em um comprimento de onda de 340nm.

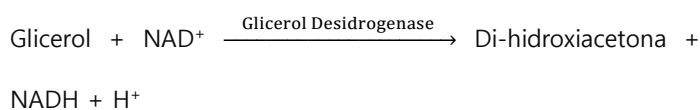
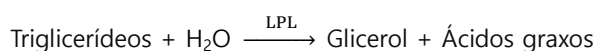
24. Lactato desidrogenase: Na amostra, o LDH catalisa a

oxidação do ácido L-lático a piruvato e, ao mesmo tempo, transfere hidrogênio para NAD⁺ para gerar dinucleotídeo reduzido de nicotinamida adenina (NADH). A taxa de geração de NADH em um comprimento de onda de 340nm é diretamente proporcional à concentração de LDH na amostra, e a concentração da atividade da lactato desidrogenase pode ser determinada pelo monitoramento da taxa de geração de NADH.

25. Lipase: Em ambiente alcalino, éster de resorufina do ácido 1,2-Dilauril-rac-propanotrioxi-3-glutárico, sob a ação de ácidos graxos e colipase para gerar 1,2-o-dilaurilglicerol e glutarato - 6'metilresorufina, este último se degrada espontaneamente em ácido glutárico e metil resorufina, e a atividade da lipase é medida pela taxa de formação de metil resorufina.

26. Colesterol total: O éster de colesterol é hidrolisado em colesterol livre sob a ação da colesterol-esterase, e este último é reduzido a colest-4-en-3-ona pela colesterol-desidrogenase, enquanto NAD⁺ é reduzido a NADH. A concentração de colesterol pode ser calculada medindo-se a mudança da absorvância do NADH em um comprimento de onda de 340nm.

27. Triglicerídeos:



28. Frutosamina: A reação de glicosilação não enzimática da proteína no soro sob a ação da glicose forma uma substância com uma estrutura de cetamina de alto nível molecular. Este composto cetamina pode reduzir NBT a um composto roxo sob condições alcalinas. É diretamente proporcional à frutosamina sérica, e a quantidade de composto roxo gerado na reação é medida por colorimetria em um comprimento de onda de 546nm, para que se possa obter a concentração de frutosamina no soro.

29. Ácido lático: Na presença de NAD⁺, a lactato desidrogenase catalisa a oxidação do ácido lático a piruvato e, ao mesmo tempo, gera NADH. O teor de ácido lático pode ser calculado medindo-se a taxa de aumento da absorvância de NADH em um comprimento de onda de 340nm.

30. Cistatina C canina: O conteúdo de cistatina C canina na amostra é determinado por turbidimetria em imunolátex. O anticorpo policlonal cistatina C canino é acoplado a uma partícula de látex uniforme e de tamanho moderado para formar um sistema específico. Quando o sistema encontra o antígeno da cistatina C canina na amostra, o antígeno-anticorpo se liga especificamente, ocorre aglutinação e um

complexo imune látex-anticorpo-antígeno é formado, e o complexo se agrega dentro de um determinado período de tempo para parecer turvo. Quando a luz passa através da solução, ela é absorvida por imunocomplexos. Quanto maior a quantidade de imunocomplexos, mais luz é absorvida, e a quantidade de luz absorvida é diretamente proporcional à quantidade de imunocomplexos dentro de uma determinada faixa. O valor de absorbância em um comprimento de onda de 630nm é medido por um analisador bioquímico automático, e o conteúdo de cistatina C canina no soro pode ser calculado consultando a curva de calibração.

31. Proteína C reativa canina: O anticorpo da proteína C reativa canina é acoplado a uma partícula de látex uniforme e de tamanho moderado para formar um sistema específico. Quando o sistema encontra o antígeno da proteína C reativa canina na amostra, o antígeno-anticorpo se liga especificamente, ocorre aglutinação e um complexo imune látex-anticorpo-antígeno é formado. O complexo se agrega dentro de um determinado período de tempo e parece turvo. Quando a luz passa através da solução, ela é absorvida por imunocomplexos. Quanto maior a quantidade de imunocomplexos, mais luz é absorvida. A quantidade de luz absorvida é diretamente proporcional à quantidade de imunocomplexos dentro de uma determinada faixa. O valor de absorbância em um comprimento de onda de 630nm é medido por um analisador bioquímico automático, o conteúdo de proteína C reativa canina no plasma pode ser calculado consultando a curva de calibração.

32. Soro Amiloide A felino: O anticorpo amiloide A sérico felino é acoplado a uma partícula de látex uniforme e de tamanho moderado para formar um sistema específico. Quando o sistema encontra o antígeno amiloide A sérico felino na amostra, o antígeno-anticorpo se liga especificamente, ocorre aglutinação, então o complexo imune látex-anticorpo-antígeno é formado e o complexo se agrega dentro de um determinado período de tempo para parecer turvo. Quando a luz passa através da solução, ela é absorvida por imunocomplexos. Quanto maior a quantidade de imunocomplexos, mais luz é absorvida. A quantidade de luz absorvida é diretamente proporcional à quantidade de imunocomplexos dentro de uma determinada faixa. O valor de absorbância em um comprimento de onda de 630nm é medido por um analisador bioquímico automático, o conteúdo de amiloide sérico felino A no plasma pode ser calculado consultando a curva de calibração.

33. Amônia: A amônia na amostra de sangue e o α -cetogluturato no reagente são catalisados pela glutamato desidrogenase (GLDH) para produzir ácido glutâmico, e o NADH é oxidado a NAD⁺ ao mesmo tempo, monitorando a

absorção de luz em um comprimento de onda de 340nm taxa de queda de valor, a concentração de amônia no sangue pode ser calculada.

34. Tempo de trombina: Quando a amostra é misturada com uma quantidade adequada de trombina, o fibrinogênio é convertido em fibrina insolúvel em condições de incubação, o que causa uma mudança no valor de absorbância. O tempo necessário para o processo é determinado de acordo com a mudança no valor de absorbância, que é o tempo de trombina.

35. Tempo de protrombina: A amostra é misturada com excesso de fator tecidual e íons cálcio para desencadear a protrombina para se tornar trombina em condições de incubação. A trombina pode converter fibrinogênio em fibrina insolúvel e causar mudança de valor de absorbância, o tempo necessário para o processo é determinado de acordo com a mudança do valor de absorbância, que é o tempo de protrombina.

36. Tempo de ativação da tromboplastina parcial: Utilizar caulim para ativar o fator XII da coagulação e o fator XI da coagulação na amostra, substituir plaquetas por cefalina e, com a participação de íons cálcio, determinar o tempo necessário para a coagulação plasmática medindo a mudança no valor de absorção da luz, que é o tempo de ativação parcial da tromboplastina.

37. Fibrinogênio: A amostra é misturada com um excesso de trombina, e o fibrinogênio solúvel é convertido em fibrina insolúvel em condições de incubação. O processo de coagulação provoca uma mudança no valor de absorbância, e o conteúdo de fibrinogênio na amostra é calculado de acordo com a mudança no tempo de coagulação e o valor de absorbância.

【Composição do Produto】

Há discos reagentes embalados individualmente no kit e há um QR code no centro do disco reagente. O QR code contém informações de calibração, parâmetros do projeto, do lote de produção etc.

【Condições de Armazenamento e Data de Validade】

O produto deve ser armazenado longe da luz e à 2°C~8°C.

O período de validade é de 15 meses.

Após abertura, o disco reagente deve ser armazenado à 10°C~30°C e utilizado dentro de 40 minutos.

【Analisador aplicável】

Analisador bioquímico totalmente automático ou analisador bioquímico seco totalmente automático correspondente ao disco reagente.

【Requisitos da amostra】

1. Disco reagente de coagulação: Sangue total ou plasma com tubo anticoagulante de citrato de sódio.
2. Discos reagentes com parâmetro LAC: Sangue total ou plasma com tubo anticoagulante de heparina.
3. Discos reagentes com parâmetro de amônia: Plasma com tubo anticoagulante de heparina, plasma com tubo anticoagulante EDTA.
4. Outros discos reagentes bioquímicos: Sangue total ou plasma com tubo anticoagulante de heparina, soro com tubo em branco.

A operação de coleta de sangue deve ser padronizada para evitar hemólise. Recomenda-se que amostras com hemólise, lipemia ou icterícia sejam coletadas novamente.

Ao testar parâmetros GLU, TP, TC, TG, recomenda-se usar amostra de sangue em jejum, caso contrário, o resultado do teste será afetado.

O teste deve ser realizado no prazo de 30 minutos após a colheita da amostra. Se o teste for realizado após a amostra ter sido isolada durante muito tempo, a precisão do resultado pode ser afetada. Se a amostra de sangue total não puder ser testada a tempo, o plasma/soro deve ser separado e armazenado de modo hermético a 2°C~8°C, longe da luz e testados dentro de 24 horas.

【Método do Teste】

1. Preparação: Analisador bioquímico totalmente automático ou analisador bioquímico seco totalmente automático, disco reagente, pipeta e ponteiros.

2. Etapas da operação:

1) Ligue e pré-aqueça o analisador de acordo com as instruções do analisador bioquímico;

2) Retire o disco reagente que se estabilizou em temperatura ambiente e coloque-o em superfície plana, adicione 100µL de amostra ao orifício da amostra;

3) Ligue a porta do analisador de acordo com as instruções do analisador bioquímico e coloque o disco reagente com a amostra no meio da bandeja da porta.

4) Insira as informações da amostra de acordo com as instruções do analisador bioquímico. O analisador realizará o teste e imprimirá os resultados.

5) Preste atenção especial aos seguintes pontos durante a operação:

a. Para evitar contaminação cruzada, a mesma ponteira não pode ser reutilizada para aspirar múltiplas amostras.

b. Ao adicionar a amostra, certifique-se de que a amostra entre completamente no disco reagente, caso contrário, pode

resultar em teste anormal.

c. Depois da amostra ser adicionada ao disco reagente, deve ser testada imediatamente. Após adição da amostra, deve-se evitar inclinação excessiva e agitação intencional antes do teste.

d. Objetos estranhos e manchas na superfície do disco reagente podem afetar a precisão dos resultados do teste. Evite a contaminação do disco reagente (especialmente do orifício de reação do anel externo) durante a operação. Recomenda-se o uso de luvas sem pó para a operação.

e. Se a embalagem independente do disco reagente estiver danificada antes do uso ou se o disco reagente for encontrado quebrado após abertura da embalagem, ele não poderá ser usado para teste. Caso contrário, pode resultar em teste anormal ou até mesmo danificar o analisador.

f. Caso o disco reagente caia de um lugar alto, não importa se o disco esteja quebrado ou não, não poderá ser testado.

g. Discos de reagentes vencidos não podem ser utilizados para teste.

3. Parâmetros de cálculo: O analisador bioquímico calcula e exibe automaticamente os resultados dos testes de cada parâmetro. A fórmula para os parâmetros de cálculo é a seguinte:

Globulina : $GLOB=TP-ALB$

Albumina/ Globulina : $A/G=ALB/GLOB$

Nitrogênio de Ureia/Creatinina : $B/C=BUN/Crea$

【Valores de Referência】

O intervalo de referência é influenciado por fatores como espécie, idade e região. Recomenda-se que cada laboratório estabeleça seu próprio intervalo de referência para diferentes espécies. Nossa empresa atualizará estatisticamente a gama de referência de várias espécies de tempos em tempos, e a gama de referência mais recente pode ser obtida atualizando o software do analisador bioquímico.

Atualmente, o intervalo de referência para as estatísticas de caninos e felinos de diferentes idades é o seguinte:

Parâmetro	Unidade	Espécie	Filhote	Adulto	Idoso
ALB	g/L	canina	21~36	23~40	23~40
ALP	U/L	canina	46~337	17~212	17~212
ALT	U/L	canina	5~75	5~125	5~125
AMY	U/L	canina	300~1560	400~1500	400~1500
AST	U/L	canina	0~50	0~50	0~50
CHE	U/L	canina	1350~5240	1350~5240	1350~5240
GGT	U/L	canina	0~10	0~10	0~10
TB	µmol/L	canina	0~14	0~15	0~15

TBA	µmol/L	canina	0~17	0~17	0~17
TP	g/L	canina	36~72	49~82	50~82
Crea	µmol/L	canina	13~106	28~159	30~159
GLU	mmol/L	canina	4,28~8,33	4,11~7,94	4,11~7,94
UA	µmol/L	canina	0~60	0~60	0~60
BUN	mmol/L	canina	2,5~10,4	2,5~9,6	2,5~9,6
Ca	mmol/L	canina	1,95~3,15	1,98~3	1,98~3
Cl ⁻	mmol/L	canina	95~122	95~119	95~119
K ⁺	mmol/L	canina	3,5~5,5	3,5~5,8	3,5~5,8
Mg	mmol/L	canina	0,6~0,95	0,68~1,09	0,68~1,09
Na ⁺	mmol/L	canina	136~156	136~156	136~156
PHOS	mmol/L	canina	1,3~3,35	0,81~2,19	0,81~2,19
tCO ₂	mmol/L	canina	12~27	12~27	12~27
pH	/	canina	7,25~7,55	7,25~7,55	7,25~7,55
CK	U/L	canina	99~436	10~200	10~200
LDH	U/L	canina	0~273	40~400	40~400
LPS	U/L	canina	0~179	0~216	0~216
TC	mmol/L	canina	2,58~10,34	2,84~8,27	2,84~8,27
TG	mmol/L	canina	0~1,13	0~1,13	0~1,13
FRUC	µmol/L	canina	177~314	177~314	177~314
LAC	mmol/L	canina	0,6~2,9	0,6~2,9	0,6~2,9
c-Cys C	mg/L	canina	0,2~0,6	0,2~0,6	0,2~0,6
c-CRP	mg/L	canina	0~10	0~10	0~10
NH ₃	µmol/L	canina	0~88,2	0~88,2	0~88,2
TT	s	canina	8~26	8~26	8~26
PT	s	canina	5~15	5~15	5~15
APTT	s	canina	30~90	30~90	30~90
Fib	g/L	canina	0,7~3,2	0,7~3,2	0,7~3,2
GLOB	g/L	canina	15~38	19~45	21~45
B/C	/	canina	16~218	16~218	16~218

Parâmetro	Unidade	Espécie	Filhote	Adulto	Idoso
ALB	g/L	felina	22~43	22~44	22~44
ALP	U/L	felina	14~192	14~111	14~111
ALT	U/L	felina	5~115	5~130	5~130
AMY	U/L	felina	500~1500	500~1500	500~1800
AST	U/L	felina	0~48	0~48	0~48
CHE	U/L	felina	736~3016	736~3016	736~3016
GGT	U/L	felina	0~12	0~12	0~12
TB	µmol/L	felina	0~15	0~15	0~15
TBA	µmol/L	felina	0~9	0~9	0~9
TP	g/L	felina	53~82	57~89	57~90
Crea	µmol/L	felina	25~141	44~212	45~278
GLU	mmol/L	felina	4,28~8,5	4,11~8,83	3,94~8,83
UA	µmol/L	felina	0~60	0~60	0~60
BUN	mmol/L	felina	4~11,8	4~12,9	4~12,9

Ca	mmol/L	felina	1,98~2,83	1,95~2,83	1,95~2,83
Cl ⁻	mmol/L	felina	99~123	99~123	99~123
K ⁺	mmol/L	felina	3,5~5,8	3,5~5,8	3,5~5,8
Mg	mmol/L	felina	0,78~1,2	0,73~1,35	0,73~1,35
Na ⁺	mmol/L	felina	140~160	140~160	140~160
PHOS	mmol/L	felina	1,45~3,35	1~2,42	1~2,42
tCO ₂	mmol/L	felina	13~25	13~25	13~25
pH	/	felina	7,25~7,55	7,25~7,55	7,25~7,55
CK	U/L	felina	0~467	0~559	0~422
LDH	U/L	felina	0~798	0~798	0~798
LPS	U/L	felina	0~37	0~40	0~43
TC	mmol/L	felina	1,6~4,94	1,68~5,81	1,68~5,81
TG	mmol/L	felina	0~1,13	0~1,13	0~1,13
FRUC	µmol/L	felina	191~349	191~349	191~349
LAC	mmol/L	felina	0,5~2,7	0,5~2,7	0,5~2,7
f-SAA	mg/L	felina	0~10	0~10	0~10
NH ₃	µmol/L	felina	0~88,2	0~88,2	0~88,2
TT	s	felina	12~44	12~44	12~44
PT	s	felina	6~17	6~17	6~17
APTT	s	felina	25~100	25~100	25~100
Fib	g/L	felina	0,6~2,2	0,6~2,2	0,6~2,2
GLOB	g/L	felina	23~48	23~52	23~52
B/C	/	felina	27~182	27~182	27~182

(Interpretação de Resultados do Teste)

- Quando o valor de ensaio da amostra exceder o intervalo de referência de cada parâmetro, o resultado do ensaio será apresentado como "< limite inferior" ou "> limite superior".
- Amostras com hemólise grave, icterícia e turvação gordurosa podem interferir nos resultados dos exames em graus variados. Quando hemólise, icterícia e turbidez gordurosa são graves, este indício aparecerá no relatório.
- Quando existirem na amostra as seguintes substâncias interferentes de elevada concentração, tais podem afetar a exatidão do resultado do ensaio:

Substâncias interferentes em alta concentração	Parâmetros que podem ser afetados
Bilirrubina	PHOS, ALT, AST, TP, Crea, UA, BUN, Fib, etc.
Chylous	Cl ⁻ , Mg, PHOS, tCO ₂ , LDH, LPS, ALT, AST, Fib, etc.
Vitamina C	LPS, FRUC, Crea, UA, GLU, TC, TG, etc.
Cefalosporina	TG etc.

Ácido pirúvico	PHOS, CK, LDH, LPS, ALT, AST, FRUC, UA, BUN, GLU, etc.
Glutationa	UA etc.
Ácido O-acetilsalicílico	tCO ₂ , LDH, BUN, etc.
Hemoglobina	LDH, CK, TB, FRUC, GLU, Fib, etc.

【Limitações do Método do Teste】

1. Os resultados dos testes são apenas para referência clínica e não podem ser usados isoladamente como base para confirmar ou excluir casos. Para fins de diagnóstico, os resultados devem ser usados em combinação com exame clínico, histórico médico e outros resultados de exames.

2. Em casos raros, o fluxo irregular da amostra no disco reagente pode levar a resultados imprecisos. Se isso acontecer, resolva-o de acordo com as soluções de problemas do analisador.

【Índice de Performance do Produto】

Parâmetro	Acurácia	Precisão intra-lote	Diferença entre lotes
ALB	±10%	≤10%	≤10%
ALP	±10%	≤10%	≤10%
ALT	±15%	≤10%	≤10%
AMY	±10%	≤10%	≤10%
AST	±15%	≤10%	≤10%
CHE	±10%	≤10%	≤10%
GGT	±10%	≤10%	≤10%
TB	±10%	≤10%	≤10%
TBA	±15%	≤10%	≤10%
TP	±10%	≤10%	≤10%
Crea	±15%	≤10%	≤10%
GLU	±10%	≤10%	≤10%
UA	±15%	≤10%	≤10%
BUN	±10%	≤10%	≤10%
Ca	±10%	≤10%	≤10%
Cl ⁻	±10%	≤10%	≤10%
K ⁺	±15%	≤10%	≤10%
Mg	±10%	≤10%	≤10%
Na ⁺	±10%	≤10%	≤10%
PHOS	±10%	≤10%	≤10%
tCO ₂	±15%	≤10%	≤10%
pH	±10%	≤10%	≤10%
CK	±10%	≤10%	≤10%
LDH	±10%	≤10%	≤10%
LPS	±15%	≤10%	≤10%
TC	±10%	≤10%	≤10%
TG	±10%	≤10%	≤10%

FRUC	±10%	≤10%	≤10%
LAC	±15%	≤10%	≤10%
c-Cys C	±15%	≤15%	≤15%
c-CRP	±15%	≤15%	≤15%
f-SAA	±15%	≤15%	≤15%
NH ₃	±15%	≤10%	≤10%
TT	O valor de segundos está dentro do intervalo de valores esperado	≤15%	≤15%
PT	O valor de segundos está dentro do intervalo de valores esperado	≤15%	≤15%
APTT	O valor de segundos está dentro do intervalo de valores esperado	≤15%	≤15%
Fib	±15%	≤15%	≤15%

【Precauções】

- Este produto é apenas para uso de diagnóstico veterinário.
- Verifique a etiqueta do disco reagente para a data de fabricação e data de validade.
- O disco reagente deve ser mantido em temperatura ambiente antes da utilização e deve ser utilizado o mais rapidamente possível após a abertura.
- Este produto contém substâncias químicas e substâncias derivadas de animais, que devem ser tratadas como potenciais fontes de infecção. A fim de reduzir o risco de infecção durante o processo de teste, tome medidas de proteção.
- Para manuseio, uso, armazenamento e descarte de resíduos sólidos e líquidos de amostras e discos reagentes, todas as amostras devem ser consideradas como substâncias potencialmente infecciosas, e devem ser descartadas de acordo com as leis e regulamentos do país e região onde o teste está localizado.

【Explicação de sinais】



Consulte o Manual



Data de validade



Data de Fabricação



Fabricante



Número de referência



Número de lote



Sem uso secundário



Número total de testes



Limite de Temperatura

【Informações do fabricante】

Fabricante : Chengdu Polytech Biological Technology Co. Ltd.

Endereço: No. 1, 1º Andar, Bloco 1 e No. 1, 1º Andar, Bloco 2 do No. 333,

Estrada Hezuo, High-tech Zone, Chengdu, China.

Código postal : 611730

Tel : 028-69760308

【Informações de contato】

BIOSYS LTDA

Rua Coronel Gomes Machado, 358, Centro, Niterói, RJ

CEP: 24120-112

CNPJ: 02.220.795/0001-79

SAC: (21) 3907-2534 / 0800 015 14 14

sac@biosys.com.br

www.biosys.com.br